

УДК 519.632.6

АППРОКСИМАЦИОННАЯ МАТЕМАТИЧЕСКАЯ МОДЕЛЬ ПРОЦЕССА ТЕПЛООБМЕНА В СЛОЖНОЙ ТЕПЛОТЕХНИЧЕСКОЙ СИСТЕМЕ ИЗ НЕСКОЛЬКИХ ТРУБОПРОВОДОВ В ИЗОЛЯЦИОННОМ КОЖУХЕ С НЕПОДВИЖНЫМ ИЗОТЕРМИЧЕСКИМ ПРОДУКТОМ

© 2018 г. Академик РАН В. П. Мешалкин^{1,2}, Т. А. Кохов^{3,*},
Т. Н. Гартман¹, Л. Б. Корельштейн⁴

Поступило 24.01.2018 г.

Разработана аппроксимационная математическая модель процесса теплообмена в сложной теплотехнической системе из нескольких параллельных технологических трубопроводов в едином изоляционном кожухе с неподвижным изотермическим продуктом, отличающаяся применением упрощённой математической модели процесса установившейся теплопроводности в круге (неподвижный продукт) и в кольце (стенка трубопровода) с краевыми условиями 3-го рода с использованием различных “аппроксимирующих” эффективных коэффициентов теплоотдачи на разных частях границы обогреваемой трубы с изотермическим продуктом с воздушной прослойкой и изоляцией.

DOI: 10.31857/S086956520001195-7

Мы предлагаем аппроксимационную математическую модель процесса теплообмена в сложной теплотехнической системе (СТС) из нескольких параллельных технологических трубопроводов (ТП) в общем изоляционном кожухе с неподвижным изотермическим продуктом. Вместо исходной сложной двумерной модели процесса стационарного теплообмена предлагаем упрощённую математическую модель процесса установившейся теплопроводности в круге (неподвижный продукт) и в кольце (стенка трубопровода) с краевыми условиями 3-го рода, а также с использованием “аппроксимирующих” эффективных коэффициентов теплоотдачи на разных частях границы обогреваемого ТП с изотермическим продуктом с воздушной прослойкой и изоляцией, применением разложения решений эллиптических уравнений Лапласа внутри круга и в кольце в ряд Фурье, что позволяет по сравнению с существующей традиционной применяемой в практике проектирования инженерно-технической моделью процесса теплообмена в СТС [3, 4, 6, 7] учитывать явным образом

влияние толщины и свойств материала стенки обогреваемого ТП на перепад температур по сечению трубопровода.

Интенсификация, повышение показателей энергоресурсоэффективности и экологической безопасности химических и нефтегазохимических производств, представляющих собой сложные химико-технологические системы (ХТС) [1], использование в химико-технологических процессах (ХТП) высоких температур и давлений, а также глубокого холода обуславливают необходимость применения тепловой специальной изоляции сложных технологических трубопроводов (СТТ) [2].

Для большого класса ХТС, в которых наличие только традиционной тепловой изоляции (ТИ) ТП не обеспечивает поддержание требуемого температурного режима ТП, применяют дополнительный обогрев ТП с использованием специальных обогревающих трубопроводов-спутников с потоками пара или горячей воды [2]. Совокупность основного технологического ТП и параллельного обогревающего ТП (теплоспутник), размещённых в общем изоляционном кожухе, представляет собой специальную СТС (рис. 1).

При проектировании такой СТС осуществляют два варианта теплотехнического расчёта толщины слоя изоляционного кожуха для ТП: с движущимся изотермическим продуктом и с неподвижным (период остановки) изотермическим продуктом [2, 3].

¹ Российский химико-технологический университет им. Д. И. Менделеева, Москва

² Институт общей и неорганической химии им. Н. С. Курнакова Российской Академии наук, Москва

³ АО “Газпрогазоочистка”, Москва

⁴ ООО НТП “Трубопровод”, Москва

*E-mail: rw.tim.k@gmail.com

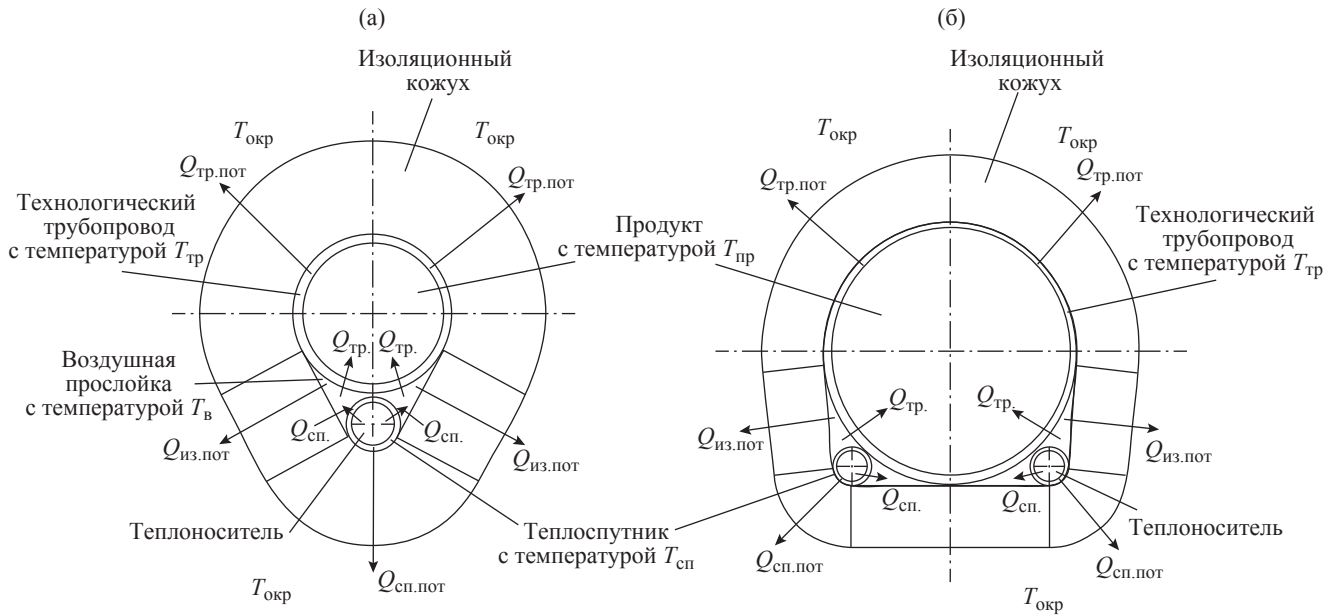


Рис. 1. Схемы процесса теплообмена в сложной теплотехнической системе: (а) – с одним обогревающим спутником, (б) – с двумя обогревающими спутниками.

При эксплуатации реальных ХТС важное значение имеют случаи временной остановки транспортируемого продукта, когда продукт в ТП неподвижен и необходимо поддерживать его температуру в заданных пределах с помощью обогревающего трубопровода-спутника и изоляционного кожуха (рис. 1).

Как известно, процесс теплопроводности в общем случае описывается дифференциальным уравнением (ДУ) Лапласа [9–11]. Поскольку СТС состоит из нескольких параллельных ТП (рис. 1), которые, как правило, функционируют в температурных режимах, близких к стационарным, процессы переноса теплоты можно идеализированно рассматривать как стационарные, а температурное поле в теплоизоляционных конструкциях также предполагать стационарным.

Для стационарных условий, когда производная температуры по времени в традиционном ДУ Лапласа будет равна нулю, основное расчётное уравнение температурного поля в СТС принимает простой вид:

$$\nabla^2 T = 0. \quad (1)$$

Используемая в практике проектирования СТС инженерно-техническая модель процесса теплообмена в СТС с неподвижным (период остановки) изотермическим продуктом описана в [3, 4, 6, 7]. Однако указанная инженерно-техническая модель хотя и основывается на правильных исходных уравнениях, по конечным результатам её

применения при проектировании СТС она вызывает определённые научно-технические сомнения, поскольку эта модель не учитывает явным образом влияние толщины и свойств материала стенки обогреваемого ТП на перепад температур по сечению трубопровода.

В связи с этим мы предлагаем методику математического моделирования процесса теплообмена в СТС из нескольких параллельных технологических трубопроводов (рис. 1), состоящую из следующих этапов.

Этап 1. Использовать исходное предположение, что стационарный источник тепла (обогревающий трубопровод-спутник) действует довольно продолжительное время, и переходные процессы, вызванные его включением, прекратились. При этом продукту приписывается некоторая величина аппроксимирующего коэффициента эффективной теплопроводности для учёта процесса свободной конвекции.

Этап 2. Отобразить поля температур в продукте (круге) и трубе (кольце), рис. 2, в виде решения двумерной стационарной задачи теплопроводности о продукте в трубе для круга

$$\frac{\partial}{\partial r} \left(r \frac{\partial T_{пр}}{\partial r} \right) + \frac{1}{r} \frac{\partial^2 T_{пр}}{\partial \varphi^2} = 0, \quad (2)$$

для кольца

$$\frac{\partial}{\partial r} \left(r \frac{\partial T_{тр}}{\partial r} \right) + \frac{1}{r} \frac{\partial^2 T_{тр}}{\partial \varphi^2} = 0, \quad (3)$$

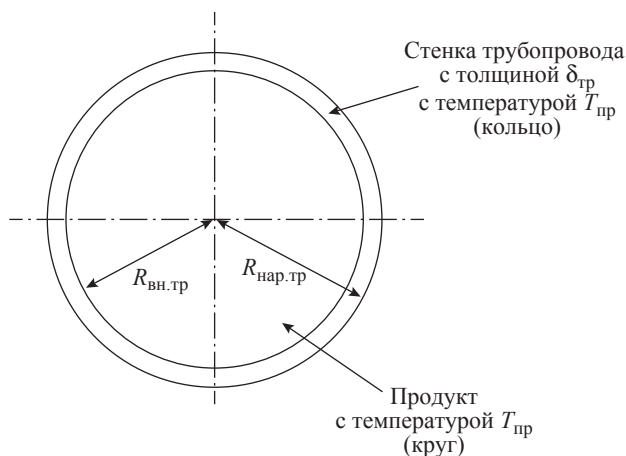


Рис. 2. Упрощённая схема процесса теплообмена в круге (неподвижный продукт) с заданным коэффициентом эффективной теплопроводности.

где $R_{нар.тр} = \frac{d_{тр}}{2}$ – наружный радиус обогреваемого ТП, м; $R_{вн.тр} = \left(\frac{d_{тр}}{2} - \delta_{тр}\right)$ – внутренний радиус обогреваемого ТП, м; $T_{пр}$ – поле температур в продукте, К; $T_{тр}$ – поле температур в стенке обогреваемого ТП, К; $\delta_{тр}$ – толщина стенки обогреваемого ТП, м; $d_{тр}$ – наружный диаметр обогреваемого ТП, м.

Э т а п 3. Задать граничные условия на внутренней поверхности обогреваемого ТП (при $r = R_{вн.тр}$) в виде равенства температур и тепловых потоков между продуктом и обогреваемым ТП (рис. 1):

$$T_{тр} = T_{пр}, \tag{4}$$

$$\lambda_{тр} \frac{\partial T_{тр}}{\partial r} = \lambda_{пр} \frac{\partial T_{пр}}{\partial r}, \tag{5}$$

где $\lambda_{тр}$ – коэффициент теплопроводности материала трубы, Вт/(м·К); $\lambda_{пр}$ – коэффициент эффективной теплопроводности остановленного продукта в ТП, учитывающий конвективные эффекты, Вт/(м·К).

Э т а п 4. При постоянстве во времени коэффициентов $\lambda_{пр}$ и $\lambda_{тр}$ решение ДУ Лапласа (2) внутри круга (неподвижного продукта), используя метод разделения переменных, можно представить в виде следующего разложения в ряд Фурье [10]:

$$T_{пр} = T_0 + \sum_{n=1}^{\infty} \left(\frac{r}{R_{вн.тр}}\right)^n (a_n \cos n\varphi + b_n \sin n\varphi), \tag{6}$$

где T_0 – температура продукта в центре обогреваемого ТП, К.

Э т а п 5. Определить аналитическое решение ДУ Лапласа (3) для температуры стенки ТП (в кольце) в виде разложения в ряд Фурье [10]:

$$T_{тр} = A_0 + B_0 \ln \frac{r}{R_{вн.тр}} + \sum_{n=1}^{\infty} \left(\frac{r}{R_{вн.тр}}\right)^n (A_n \cos n\varphi + B_n \sin n\varphi) + \sum_{n=1}^{\infty} \left(\frac{r}{R_{вн.тр}}\right)^{-n} (C_n \cos n\varphi + D_n \sin n\varphi). \tag{7}$$

Э т а п 6. Применить граничные условия (4) и (7) на внешней поверхности обогреваемого ТП и (5) к полученным разложениям в ряд Фурье (6) (при $r = R_{нар.тр}$), тогда выполняются соотношения

$$T_{тр}(R_{нар.тр}, \varphi) = T_0 + \sum_{n=1}^{\infty} c_n (a_n \cos n\varphi + b_n \sin n\varphi), \tag{8}$$

$$\frac{\partial T_{тр}}{\partial r}(R_{нар.тр}, \varphi) = \sum_{n=1}^{\infty} \frac{n}{R_{нар.тр}} d_n (a_n \cos n\varphi + b_n \sin n\varphi). \tag{9}$$

Э т а п 7. Задать на поверхности обогреваемого ТП с воздушной прослойкой и изоляцией граничные условия 3-го рода и заменить сопротивление изоляции на эквивалентный эффективный коэффициент теплоотдачи $\alpha_{из}$, тогда справедливы соотношения

$$\lambda_{тр} \frac{\partial T_{тр}}{\partial r} = -\alpha_{тр} (T_{тр} - T_в) \text{ при } r = R_{нар.тр}, \quad |\varphi| < \frac{\alpha}{2}, \tag{10}$$

$$\lambda_{тр} \frac{\partial T_{тр}}{\partial r} = -\alpha_{из} (T_{тр} - T_{окр}) \text{ при } r = R_{нар.тр}, \quad \frac{\alpha}{2} \leq |\varphi| \leq \pi, \tag{11}$$

где T_B – температура воздуха в воздушной прослойке, К; $T_{окр}$ – температура окружающей среды, К; $\alpha_{тр}$ – коэффициент теплоотдачи между трубой и воздушной прослойкой, Вт/(м²·К); $\alpha_{из}$ – эквивалентный эффективный коэффициент теплоотдачи между трубой и окружающим воздухом через изоляцию, Вт/(м²·К), рассчитываемый с учётом термического сопротивления изоляции (R_3); α – угол обогрева, радиан.

Этап 8. Определить оставшиеся неизвестные коэффициенты разложения в ряд Фурье с учётом крайних условий (10) и (11). Умножая условия (10), (11) на $\cos n\varphi$ и интегрируя с учётом (8) и (9) по всей наружной поверхности трубы, получим при $n = 0$:

$$T_0 = \frac{\alpha T_B + (2\pi - \alpha)\gamma T_{окр}}{\alpha + (2\pi - \alpha)\gamma} - (T_B - T_{окр}) \frac{(1 - \gamma)}{\alpha + (2\pi - \alpha)\gamma} \sum_{n=1}^{\infty} \frac{2}{n} \sin \frac{n\alpha}{2} c_n \hat{a}_n, \quad (12)$$

где безразмерные величины $\hat{a}_n = \frac{a_n}{(T_B - T_{окр})}$ и $\gamma = \frac{\alpha_{из}}{\alpha_{тр}}$.

Этап 9. Составить при $n > 1$ систему уравнений для коэффициентов \hat{a}_n :

$$K_n c_n \hat{a}_n = F_n + \sum_{m>0, m \neq n} K_{nm} c_m \hat{a}_m. \quad (13)$$

Решить информационно-разреженную систему уравнений (11) методом последовательных приближений, ограничивая при этом число членов разложения:

$$\hat{a}_n^{(0)} = 0, \quad \hat{a}_n^{(i)} = \frac{F_n + \sum_{m>0, m \neq n} (K_{nm} c_m \hat{a}_m^{(i-1)})}{K_n c_n}. \quad (14)$$

Этап 10. Проинтегрировать условия (10) и (11) с учётом формул (8) и (12) и получить величину теплового потока из воздушной прослойки к трубе $Q_{тр}$ и равную ей величину теплового потока от трубы через изоляцию $Q_{пот}^{тр}$:

$$Q_{тр} = Q_{пот}^{тр} (1 - \Psi), \quad (15)$$

где

$$\Psi = \frac{2\pi}{\alpha(2\pi - \alpha)} \sum_{n=1}^{\infty} \frac{2}{n} \sin \frac{n\alpha}{2} c_n \hat{a}_n, \quad (16)$$

где $Q_{пот}^{тр}$ – тепловой поток для более простого случая движущегося продукта.

Таким образом, для случая неподвижного продукта в ТП температура воздушной прослойки (рис. 1) может быть рассчитана по формулам,

приведённым в [3, 5, 6]. Это справедливо и для подвижного продукта, но с введением поправочного коэффициента Ψ , вычисляемого по формуле (16):

$$T_B = \frac{\frac{T_{сп}}{R_1} + \left(\frac{1}{R_2} + \frac{1 - \Psi}{R_3 + R_4} \right) \cdot T_{окр}}{\frac{1}{R_1} + \frac{1}{R_2} + \frac{1 - \Psi}{R_3 + R_4}}, \quad (17)$$

где R_1 – удельное термическое сопротивление теплоотдаче от обогревающего трубопровода-спутника в воздушную прослойку; R_2 – термическое сопротивление изоляционного слоя, граничащего с воздушной прослойкой; R_4 – удельное термическое сопротивление теплоотдаче от воздушной прослойки к ТП.

Проверку адекватности разработанной аппроксимационной математической модели процесса теплообмена (10)–(17) мы выполнили в серии вычислительных экспериментов по определению температурных полей (12) и (17) в СТС с неподвижным изотермическим продуктом установки производства элементарной серы. Модель (10)–(17) использовали при сравнении аналитического решения с результатами компьютерного моделирования процесса теплообмена в СТС разных конфигураций на стационарных моделях теплопередачи методом конечных элементов (КЭ) с помощью программного комплекса ELCUT [13].

Для сравнения аппроксимационного аналитического решения (10)–(17) и численного решения использовали критерий минимизации нормы разности между определёнными аналитическими значениями (12) и (17) и рассчитанными численными значениями температур T :

$$\|R^{ан} - R^{числ}\| = \sum_{i=1}^N [R^{ан}(x_i, y_i) - R^{числ}(x_i, y_i)]^2, \quad (18)$$

где R – значение T ; x_i, y_i – либо узлы конечно-элементной сетки, либо внутренние точки конечных элементов.

Как видно из полученных результатов (рис. 3), предложенная аппроксимационная математическая модель (10)–(17) позволяет оценить перепад и величины температур в продукте с удовлетворительной инженерной точностью с погрешностью не более 2%. При этом значение толщины стенки ТП оказывает решающее влияние на перепад температур по сечению трубопроводов для диаметров более 200 мм и на больших диаметрах этот перепад может достигать порядка 20 К (рис. 3).

Таким образом, разработана аппроксимационная математическая модель (10)–(17) процесса теплообмена в СТС из нескольких ТП в едином изоляционном кожухе с неподвижным изотермическим

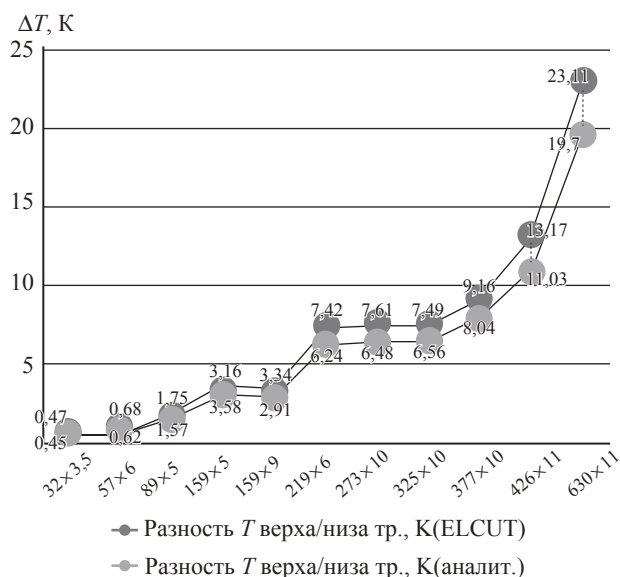


Рис. 3. График сравнения результатов вычислительных экспериментов по проверке адекватности разработанной аппроксимационной математической модели (8)–(15).

продуктом, отличающаяся учётом толщины и свойств материала стенки обогреваемого ТП, которые влияют на перепад температур по сечению трубопровода.

Проведена проверка адекватности разработанной модели в СТС разных конфигураций. Результаты вычислительных экспериментов подтверждают достаточную адекватность разработанной аппроксимационной математической модели для решения инженерно-технических задач при проектировании сложных теплотехнических систем.

СПИСОК ЛИТЕРАТУРЫ

1. Кафаров В.В., Мешалкин В.П. Анализ и синтез химико-технологических систем. Учеб. для вузов. М.: Химия, 1991. 432 с.
2. Кафаров В.В., Мешалкин В.П. Проектирование и расчет оптимальных систем технологических трубопроводов. М.: Химия, 1991. 279 с.
3. Гурьев В.В., Жолудов В.С., Петров-Денисов В.Г. Тепловая изоляция в промышленности. Теория и расчет. М.: Стройиздат, 2003. 415 с.
4. Хижняков С.В. Практические расчеты тепловой изоляции. Изд. 3-е, перераб. М.: Энергия, 1976. 145 с.
5. ISO 10077-2:2012. Thermal Performance of Windows, Doors, and Shutters – Calculation of Thermal Transmittance. Pt 2. Numerical Method for Frames.
6. Указания по проектированию систем обогрева технологических трубопроводов и оборудования на открытых площадках в химической промышленности, ВСН 2-82. М.: Минхимпром, 1982. 25 с.
7. Инструкция по расчету и проектированию теплоизоляционных конструкций продуктопроводов, обогреваемых паровыми и водяными спутниками, ВСН 168-76/ММСС СССР. М.: 1978. 89 с.
8. Мешалкин В.П., Чионов А.М., Казак А.С., Аристов В.М. Компьютерная модель нестационарного газового потока в протяженном многослойно изолированном подводном газопроводе высокого давления // ДАН. 2016. Т. 469. № 6. С. 694–697.
9. Тихонов А.Н., Самарский А.А. Уравнения математической физики. М.: Наука, 2004. 742 с.
10. Самарский А.А., Вабищевич П.Н. Вычислительная теплопередача. М.: Едиториал УРСС, 2003. 784 с.
11. Михеев М.А., Михеева И.М. Основы теплопередачи. М.: Энергия, 1977. 344 с.
12. Якимов А.С. Аналитический метод решения краевых задач. Монография. 2-е изд., доп. Томск: Изд-во Том. ун-та, 2011. 199 с.
13. ELCUT. Моделирование электромагнитных, тепловых и упругих полей методом конечных элементов. Версия 6.3. Руководство пользователя. СПб.: Тор, 2017. 296 с.